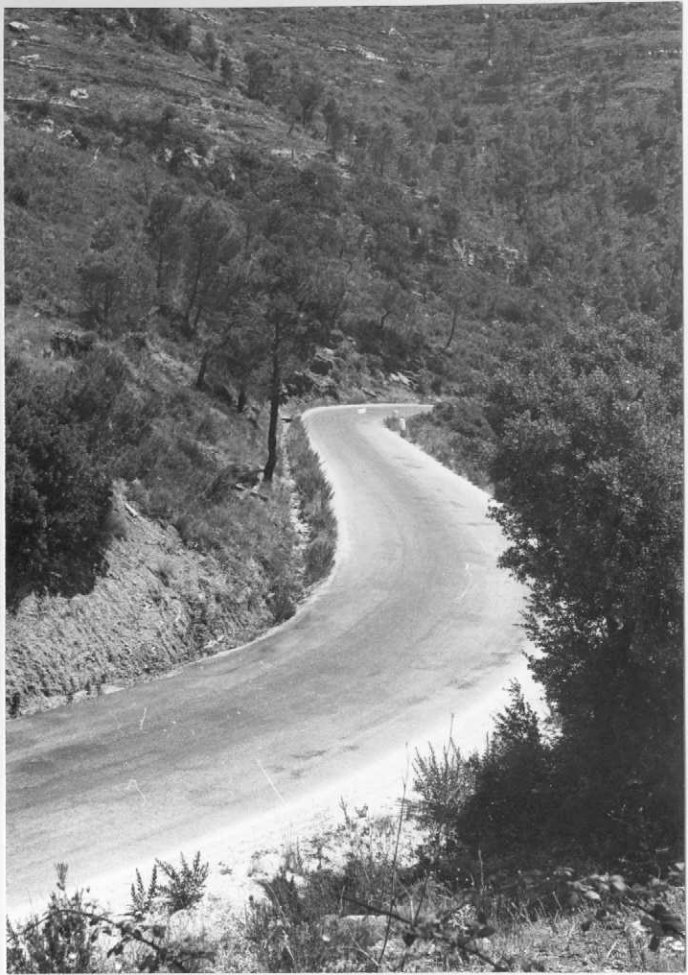


32-18-AD-OG-101.- Repliegue anticlinal del Muschelkalk su
perior (T_{G23}).



32-18-AD-OG-109.- Margas y arcillas del
Muschelkalk medio (T_{G22}).



-32-18-AD-OG-110.- Dolomías brechoides del Lias inferior (J_1).



-32-18-AD-OG-112.- Calizas y margocalizas del Bajociense (J³⁻⁰₁₄₋₂₂) .



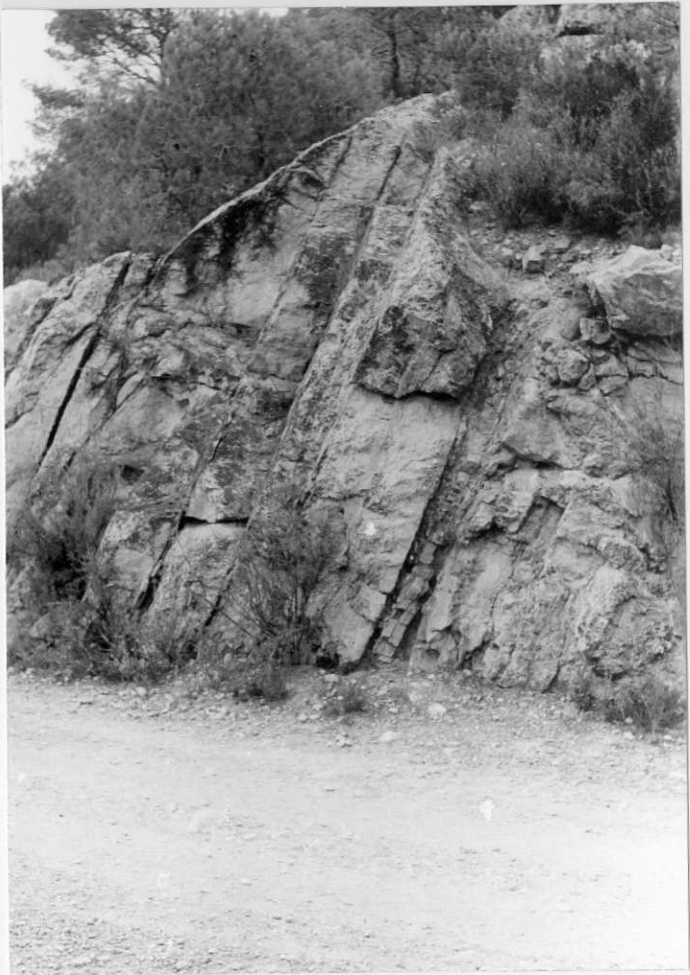
32-18-AD-OG-123.- Conglomerados del Buntsandstein (T_{G1}).



32-18-AD-OG-124.- Estratificación cruzada en las areniscas del
Bunt (T_{G1}).



32-18-AD-OG-125.- Dolomías del Muschelkalk inferior (T_{G21}).



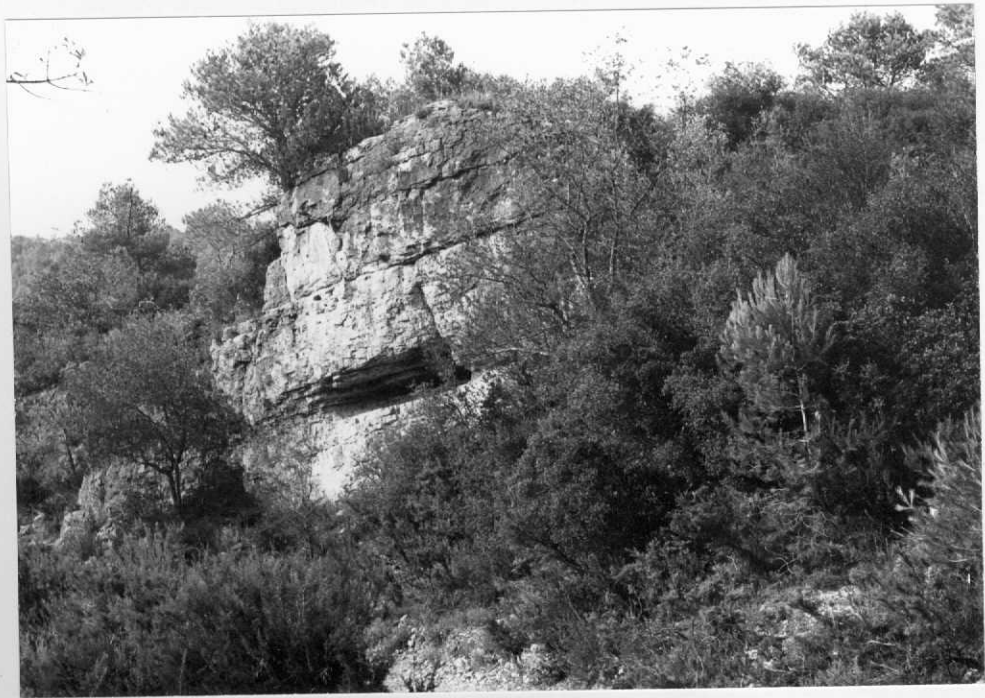
32-18-AD-OG-126.- Muschelkalk inferior
(T_{G21}) .



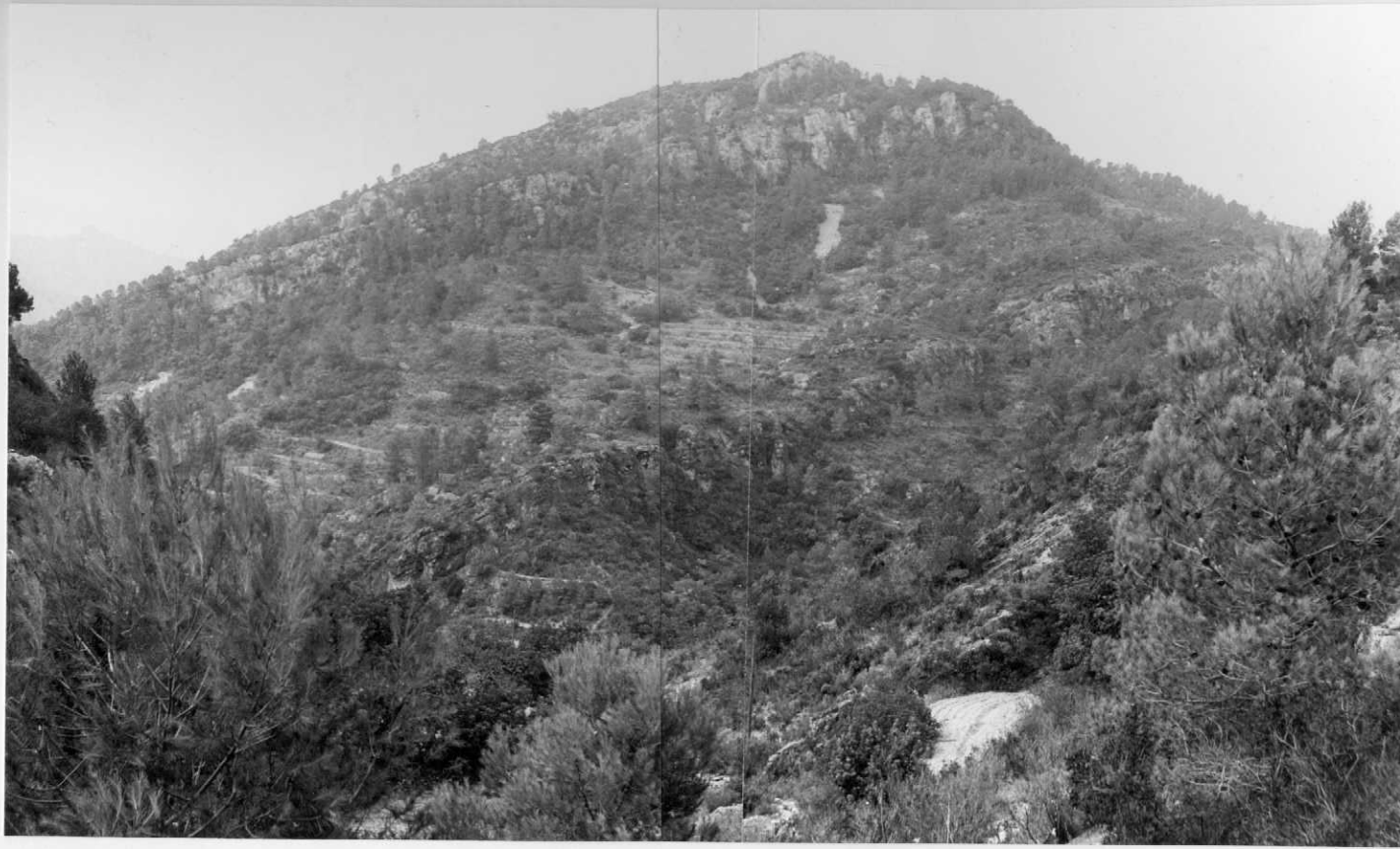
32-18-AD-OG-127.- Falla inversa del Paleozoico sobre el Bunt. A la izquierda, el Muschelkalk inferior
(T_{G21}).



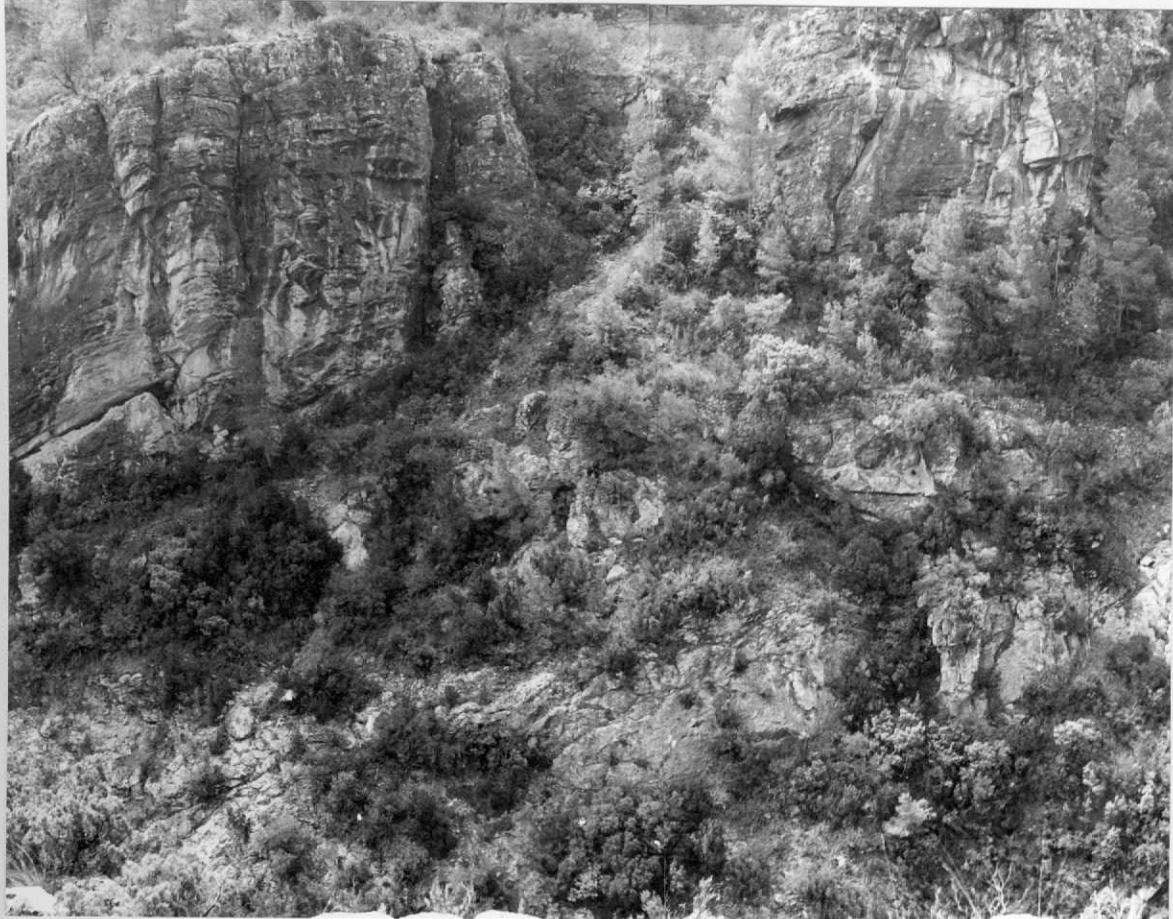
32-18-AD-OG-146.- En primer término, dolomías brechoides (J_1). El banco grueso del fondo corresponde a las calizas del J_{1-13} .



32-18-AD-OG-147.- Dolomías del Muschelkalk superior (T_{G23}) .



32-18-AD-OG-148. - La corrida de la parte central corresponde al T_{G23} , encima Keuper T_{G3} (blanco). Los primeros bancos gruesos encima de este son J_{1d} ; la cima son las dolomías brechoides - J_1 . En primer término el T_{G23} , volcado pues por el barranco para un eje anticlinal.



32-18-AD-OG-149. - Contacto mecánico entre el Muschelkalk superior (T_{G23}) (bancos gruesos) y el Lías J_{1d} (debajo). La serie está volcada.



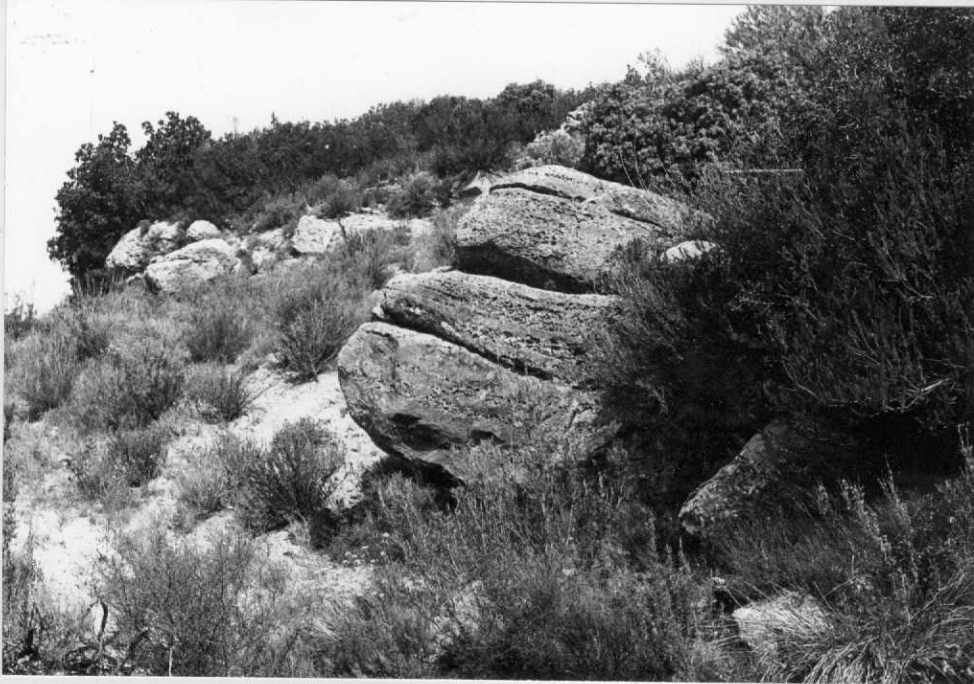
32-18-AD-OG-150.- Dolomías brechoides del Lias (J_1).



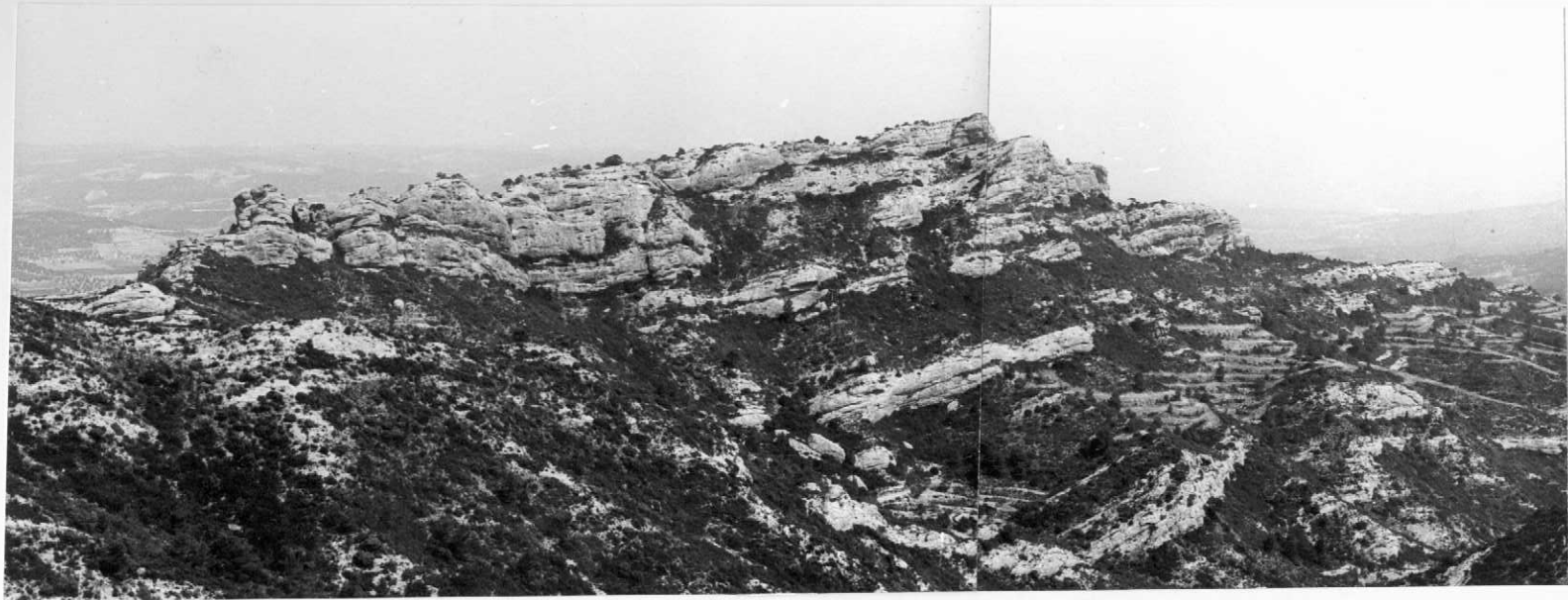
32-18-AD-OG-153.- Contacto $J_1 - J_{1-13}$.



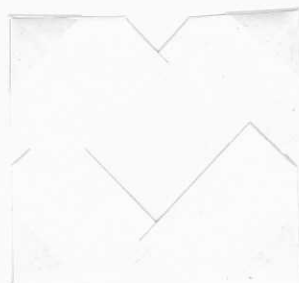
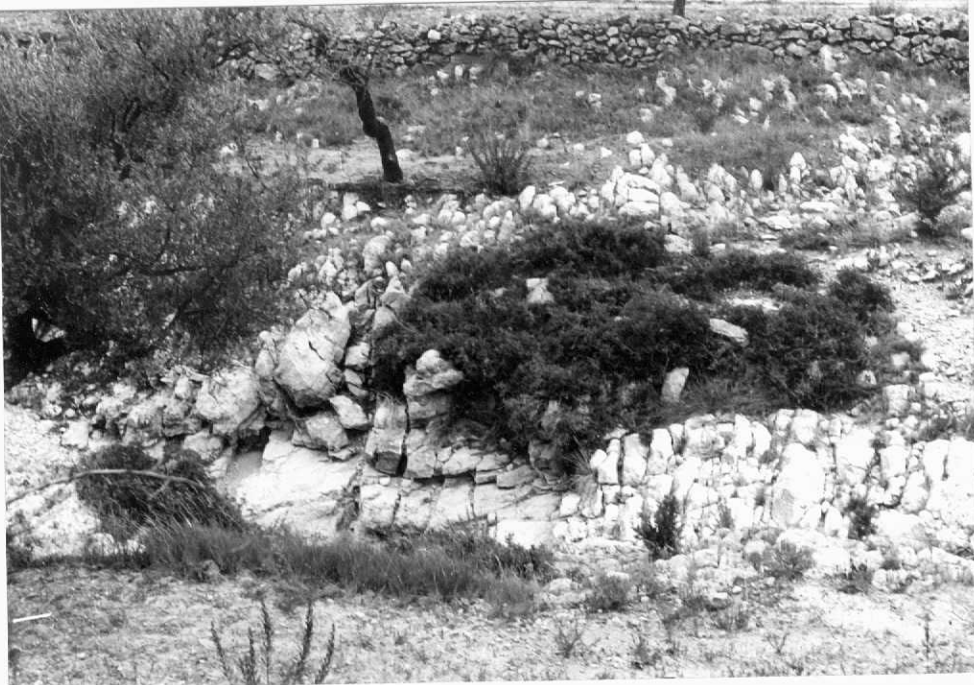
32-18-AD-OG-154.- En primer término el Keuper T_{G3} . Los bancos del extremo izquierdo son J_{1d} . Al fondo las dolomías brechoides del J_1 .



32-18-AD-OG-157.- Margas y conglomerados eocenos (T_{c2}^A a).

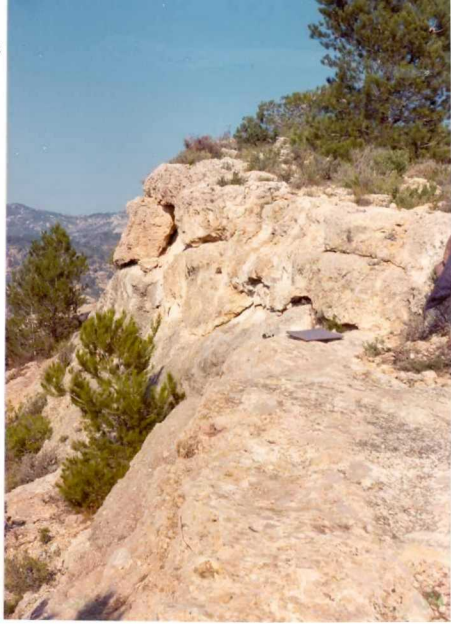
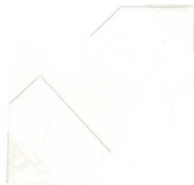


32-18-AD-OG-158.- Conglomerados buzantes oligocenos (T_3^A cg₂).



32-18-AD-OG-168.- Cretáceo superior (C₂₁₋₂₂⁰⁻¹)

32-18-AD-OG-176. - Conglomerados
miocenos (T_{cl}^B cg).





32-18-AD-OG-177. - En primer término conglomerados y margas oligocenos (T_{c3}^A cg₂ y T_{c3}^A m₂). Al fondo, conglomerados discordantes del Mioceno (T_{c1}^B cg).



32-18-AD-OG-178.- Conglomerados oligocenos (T_{c3}^A cg₁).



32-18-AD-OG-183.- Calizas toarcianas (J_{14}^{1-2}).



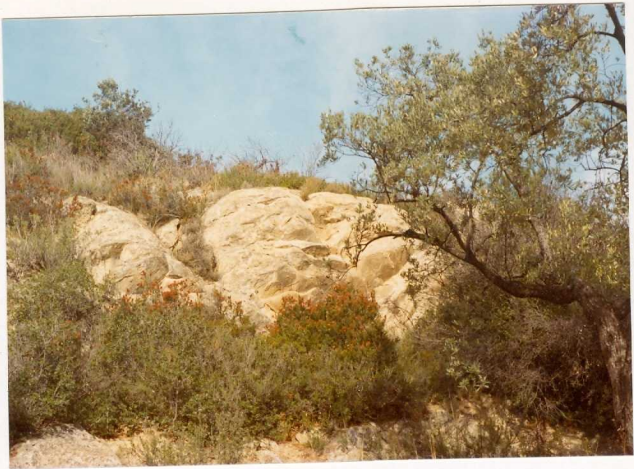
32-18-AD-OG-188.- Yesos eocenos ($T_{\tau_2}^A Y$).



32-18-AD-OG-189.- Terciario continental de la parte norte de la Depresión de Mora de Ebro. A la de
recha García.



32-18-AD-OG-191.- Calizas, margas y areniscas miocenas (T_{c3-1}^{A-B}).



32-18-AD-OG-204.- Areniscas oligocenas amarillentas (T_c^A s).



32-18-AD-OG-205.- Yesos en las margas amarillas oligocenas
 $(T_{c3}^A m_1)$.



32-18-AD-OG-208.- Núcleo anticlinal del Muschelkalk superior
(T_{G23}).



32-18-AD-OG-215.- Terraza del Ebro (QT_1).



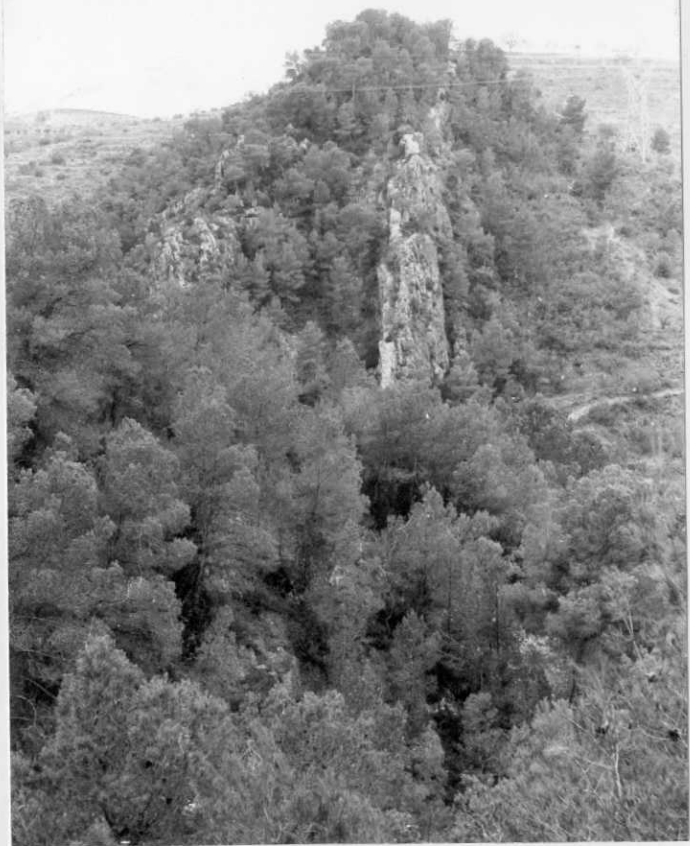
32-18-AD-OG-22.- Margas y yesos del Muschelkalk medio (T_{G22}).



32-18-AD-OG-233.- Conglomerados oligocenos y margas amarillas (T_{e3m1}^A). A la izquierda, cierre sinclinal; en el centro, apenas visible, cierre anticlinal.

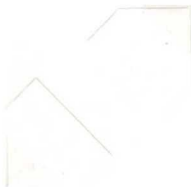


32-18-AD-OG-232..- Sinclinal en las dolomías brechoides (J_1). El eje pasa por el centro de la foto. El núcleo son las arcillas terciarias (T_{c2}^A).



32-18-AD-OG-24.- Muschelkalk inferior vertical
(T_{G21}) .

32-18-AD-OG-240. - Junto a la
carretera, granito ($\gamma\gamma^2$). La
parte superior es Muschel -
kalk inferior. El Bunt ape-
nas se distingue, cabalgado
por el granito.





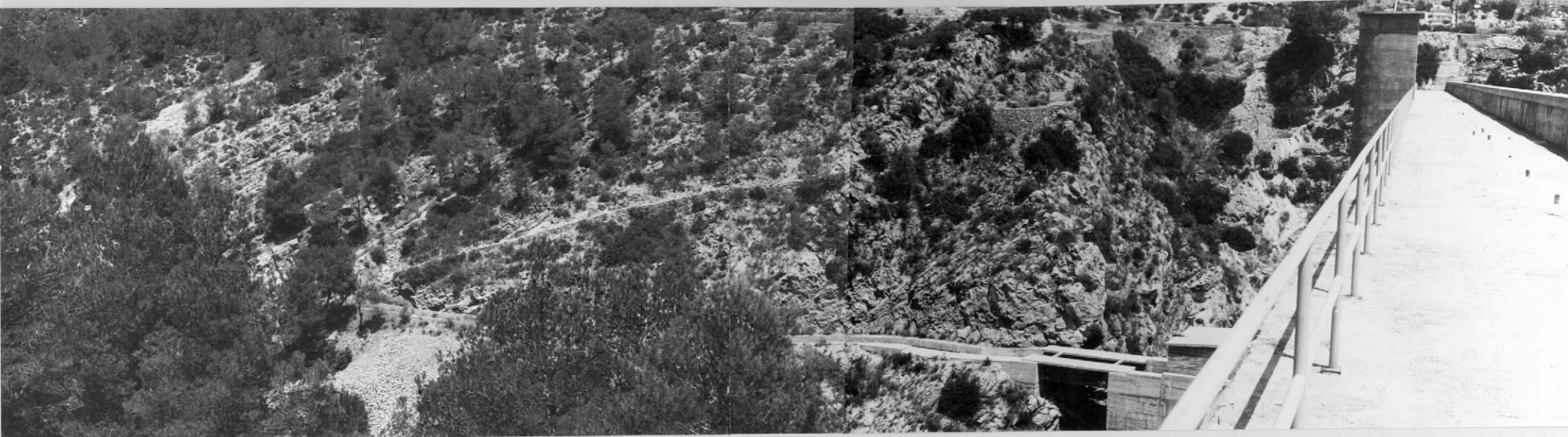
32-18-AD-OG-249.- Pizarras y areniscas carboníferas (H).



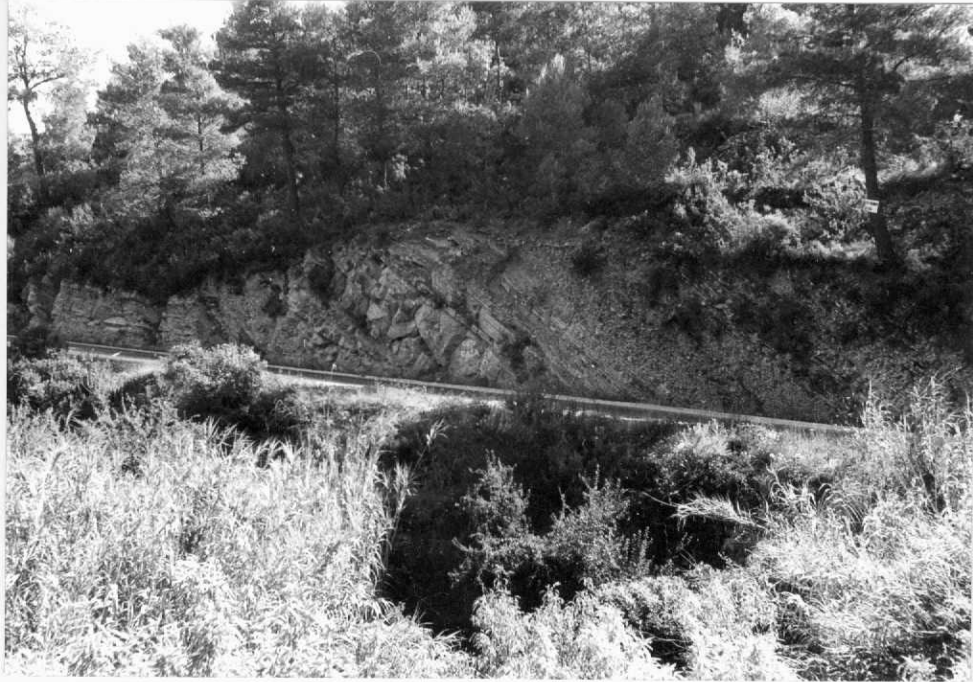
32-18-AD-OG-267.- Repliegue en pizarras y liditas del Carbonífero (H).



32-18-AD-OG-33.- Granito (γ^2).

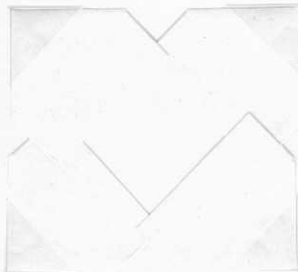
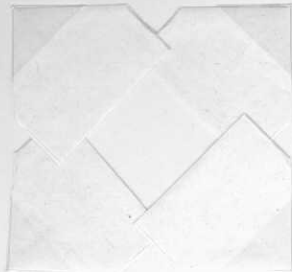


32-18-AD-OG-34.- Muschelkalk inferior (T_{G21}) de Guiamets.



32-18-AD-OG-40.- Calizas y dolomías del Muschelkalk superior
(T_{G23}). .

32-19-AD-OG-529.- Calizas
del Pliensbachiene (J₁₋₁₃). .





32-18-AD-OG-53.- Conglomerados buzantes del Oligoceno (T_{c3}^A cg2).



32-19-AD-OG-530.- Calizas Pliensbachienses (J₁₃).



32-18-AD-OG-54. - Conglomerados verticales oligocenos (T_{c3}^A cg_2).



32-18-AD-OG-56.- Discordancia entre los materiales oligocenos (T_{c3}^A) y el Cuaternario.



32-18-AD-OG-97.- Areniscas del Buntsanstein (T_{G1}) .